



# **Trabalho 01- Análise de Vigas em Flexão**

**José Miguel Correia Barros, M15321**

**Engenharia Aeronáutica**  
(2º ciclo de estudos)

Docente: Prof. Doutor Thiago Assis Dutra

**5 de Outubro de 2025**



# Índice

<b>Índice</b>	<b>iii</b>
<b>Lista de Figuras</b>	<b>v</b>
<b>Lista de Tabelas</b>	<b>vii</b>
<b>1 Descrição do Problema</b>	<b>1</b>
1.1 Tarefa 1 . . . . .	1
1.2 Tarefa 2 . . . . .	2
<b>2 Metodologia de Solução</b>	<b>3</b>
2.1 Tarefa 1 . . . . .	3
2.2 Tarefa 2 . . . . .	5
<b>3 Implementação do código</b>	<b>7</b>
<b>4 Resultados e Discussões</b>	<b>9</b>
4.1 Tarefa 1 . . . . .	9
4.2 Tarefa 2 . . . . .	10
<b>5 Conclusão</b>	<b>13</b>
<b>Bibliografia</b>	<b>15</b>
<b>A Implementação do código</b>	<b>17</b>
A.1 Tarefa 1 . . . . .	17
A.2 Tarefa 2 . . . . .	20



# **Lista de Figuras**

1.1	Viga de secção retangular sujeita a carga uniformemente distribuída. . . . .	1
1.2	Viga simplesmente apoiada com carregamento distribuído e cargas concen- tradas. . . . .	2
3.1	Fluxograma referente à Tarefa 1 . . . . .	7
3.2	Fluxograma referente à Tarefa 2 . . . . .	7
4.1	Gráficos referentes às deflexões e inclinações ao longo do comprimento da viga. . . . .	9
4.2	Diagrama das forças de reação em função da posição $x$ . . . . .	10
4.3	Diagrama do momento fletor ao longo da viga. . . . .	10



# **Lista de Tabelas**

1.1	Dados da Tarefa 1. . . . .	1
1.2	Dados da Tarefa 2. . . . .	2



# Capítulo 1

## Descrição do Problema

Este relatório tem como finalidade apresentar a proposta de resolução do Trabalho 1 da disciplina de Placas e Cascas. O foco do estudo recai na investigação da resposta de vigas e placas quando submetidas a diversas formas de carregamento, um tema de grande relevância na Engenharia Aeronáutica. Compreender o comportamento dessas estruturas frente às cargas aplicadas é essencial para garantir tanto a segurança, quanto a estabilidade de componentes estruturais, especialmente em projetos aeronáuticos.

### 1.1 Tarefa 1

No primeiro exercício, considera-se uma viga de secção transversal retangular, com dimensões  $b \times h$ , constituída por um material isotrópico e sujeita a uma carga uniformemente distribuída  $q$ . Tal como ilustrado na Figura 1.1, a área da secção transversal  $A$ , o módulo de elasticidade  $E$ , o momento de inércia  $I$  e a rigidez da mola  $k$  mantêm-se constantes ao longo da viga.

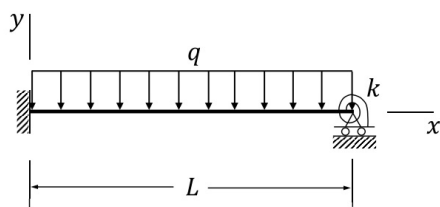


Figura 1.1: Viga de secção retangular sujeita a carga uniformemente distribuída.

Na alínea (a), pretende-se determinar, recorrendo à teoria de Euler-Bernoulli, a equação da linha elástica da viga, o momento fletor no ponto médio e a força de reação vertical no apoio direito. Na alínea (b), é solicitado calcular as deflexões e inclinações ao longo de toda a viga, desde  $x = 0$  até  $x = L$ , e apresentar os resultados graficamente através de um software à escolha. Para a resolução do problema, optei por utilizar a linguagem *Python*. Os dados necessários para os cálculos encontram-se disponíveis na Tabela 1.1.

Tabela 1.1: Dados da Tarefa 1.

Caso	$b$ [mm]	$h$ [mm]	$L$ [mm]	$E$ [GPa]	$q$ [N/m]	$k$ [Nm/rad]
6	10	10	800	70	250	300

## 1.2 Tarefa 2

No segundo exercício, considera-se uma viga simplesmente apoiada em ambas as extremidades, submetida a um carregamento arbitrário que consiste numa carga distribuída  $q$  e em  $n$  cargas concentradas, conforme ilustrado na Figura 1.2.

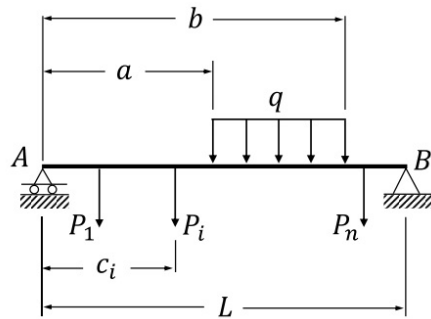


Figura 1.2: Viga simplesmente apoiada com carregamento distribuído e cargas concentradas.

Na alínea (a), solicita-se o desenvolvimento de um programa informático que determine o diagrama do esforço transverso e do momento fletor ao longo da viga, em função da posição  $x$ . Este programa deve ser elaborado de forma flexível, permitindo o tratamento de um número indefinido de cargas concentradas, ou seja, não poderá estar limitado a um caso específico. Na alínea (b), pretende-se que os resultados obtidos na primeira parte sejam representados graficamente, recorrendo a incrementos de discretização no eixo da viga de  $\Delta x \leq \frac{L}{100}$ . Para esse efeito, são disponibilizados os valores apresentados na Tabela 1.2.

Tabela 1.2: Dados da Tarefa 2.

Caso	$a$ [m]	$b$ [m]	$L$ [m]	$q$ [kN/m]	$P_1$ [kN]	$c_1$ [m]	$P_2$ [kN]	$c_2$ [m]	$P_3$ [kN]	$c_3$ [m]
6	4	8	8	25	12	1	26	4	37	5

# Capítulo 2

## Metodologia de Solução

### 2.1 Tarefa 1

A teoria de Euler–Bernoulli constitui um modelo clássico para a análise do comportamento estrutural de vigas e barras quando estas são solicitadas por diferentes tipos de carregamentos. No domínio da engenharia, esta formulação é amplamente empregue para estimar a deformação (deflexão) e as tensões que surgem ao longo da viga devido à ação das cargas aplicadas. O modelo assenta em hipóteses fundamentais que simplificam a realidade física, permitindo a obtenção de resultados práticos com boa aproximação:

- Assume-se que o comprimento da viga é muito superior às suas restantes dimensões;
- Os efeitos provocados pelo esforço transverso (corte) não são considerados;
- As secções transversais mantêm-se planas e ortogonais ao eixo neutro mesmo após a deformação;
- O material é suposto ser homogéneo e obedecer ao comportamento elástico linear descrito pela lei de Hooke.

Para determinar a equação da linha elástica, é necessário começar pela definição das condições de fronteira do problema. No ponto  $x = 0$ , a viga encontra-se encastrada, o que implica ausência de deslocamento vertical e de rotação. Já em  $x = L$ , está aplicado um apoio, que impede qualquer deslocamento vertical nesse ponto. Para que a estrutura se mantenha em equilíbrio, o somatório dos momentos em torno do apoio deve ser nulo, de modo que o momento gerado pela carga distribuída seja compensado pelo momento resultante da ação da mola. Desta maneira podemos entao definir as nossas condições de fronteira como:

$$\begin{cases} v(0) = 0, & v'(0) = 0 \\ v(L) = 0, & M(L) = k \cdot v'(L) \end{cases}$$

A equação 2.1, que descreve o comportamento da viga, serve de base para a determinação da linha elástica.

$$EI \cdot v^{(iv)}(x) = -q(x) \quad (2.1)$$

A partir da equação (2.1), procede-se à sua integração sucessiva até alcançar a equação (2.5), que descreve a deflexão vertical e, por conseguinte, define a equação da linha elástica. No percurso, a equação (2.2), quando multiplicada pelas propriedades da viga ( $EI$ ), representa o esforço transverso (corte). De forma análoga, a equação (2.3), também multiplicada por  $EI$ , traduz o momento fletor. Seguidamente, a equação (2.4) corresponde à inclinação da linha elástica. Assim, cada etapa conduz de modo encadeado até à formulação final da equação da linha elástica.

$$v'''(x) = \frac{-qx}{EI} + C_1 \quad (2.2)$$

$$v''(x) = \frac{-qx^2}{2EI} + C_1x + C_2 \quad (2.3)$$

$$v'(x) = \frac{-qx^3}{6EI} + \frac{C_1x^2}{2} + C_2x + C_3 \quad (2.4)$$

$$v(x) = \frac{-qx^4}{24EI} + \frac{C_1x^3}{6} + \frac{C_2x^2}{2} + C_3x + C_4 \quad (2.5)$$

De seguida ao substituir pelas condições de fronteira vamos obter os valores das constantes  $C_1, C_2, C_3$  e  $C_4$ .

$$C_1 = \frac{L^2 q (-6EI + Lk)}{24EI(4EI - Lk)} \quad (2.6)$$

$$C_2 = \frac{L q (5EI - Lk)}{12EI(4EI - Lk)} \quad (2.7)$$

$$C_3 = 0 \quad (2.8)$$

$$C_4 = 0 \quad (2.9)$$

Então, a equação da linha elástica é definida pela expressão 2.10, onde  $C_1$  e  $C_2$  sao 2.6 e 2.7, respetivamente.

$$v(x) = \frac{-qx^4}{24EI} + \frac{C_1x^3}{6} + \frac{C_2x^2}{2} \quad (2.10)$$

Para determinar o momento fletor no ponto médio da viga, isto é, quando  $x = L/2$ , utilizamos novamente as condições de fronteira. De recordar que a relação entre o momento e a derivada da deflexão é dada por  $M(L) = k \cdot v'(L)$ , sendo que, em particular, vale também  $k \cdot v'(L) = -EI \cdot v''(x)$ . Com base nesta formulação, chega-se então à expressão do

momento fletor no centro da viga, apresentada na equação (2.11).

$$M\left(\frac{L}{2}\right) = EI \cdot v''\left(\frac{L}{2}\right) \quad (2.11)$$

Finalmente, é necessário determinar a reação vertical no apoio situado à direita. Esse valor obtém-se recorrendo à expressão indicada na equação (2.12).

$$-EI \cdot v'''(L) = -EI \left( \frac{qL}{EI} + C_1 \right) \quad (2.12)$$

## 2.2 Tarefa 2

Na segunda tarefa, considera-se uma viga simplesmente apoiada em ambas as extremidades, sujeita simultaneamente a uma carga distribuída  $q$  e a  $n$  cargas concentradas aplicadas em posições arbitrárias.

Partindo do princípio de que a estrutura se encontra em equilíbrio estático, impõe-se que  $\sum F_x = \sum F_y = 0$  e  $\sum M_A = 0$ . Com base nestas condições fundamentais, foram determinadas as reações de apoio em  $A$  e em  $B$ , tal como apresentado nas equações (2.13) e (2.14).

$$R_A = -R_B + \sum_{i=1}^n P_i + q(b-a) \quad (2.13)$$

$$R_B = \frac{\sum_{i=1}^n P_i \cdot c_i + q(b-a) \left( a + \frac{b-a}{2} \right)}{L} \quad (2.14)$$

Após a determinação das reações, o passo seguinte consiste na construção dos diagramas de esforço transverso e de momento fletor. Estes são obtidos a partir do equilíbrio de cada secção da viga, sendo necessário contabilizar a contribuição das forças pontuais e do carregamento distribuído em cada intervalo definido pelas posições  $c_i$ .

De modo a garantir a generalidade da formulação, o método implementado permite a introdução de um número indefinido de cargas concentradas, não ficando limitado a um caso específico. Esta abordagem assegura a aplicabilidade do programa a diferentes cenários de carregamento.

Adicionalmente, para representar graficamente os resultados, o eixo da viga foi discretizado em incrementos de  $\Delta x \leq \frac{L}{100}$ , conforme indicado no enunciado, garantindo assim uma resolução adequada e a correta identificação de descontinuidades associadas às cargas pontuais.

Tal como na Tarefa 1, adotou-se o modelo clássico de Euler–Bernoulli para a viga. No en-

tanto, nesta etapa as reações foram obtidas apenas pelas condições de equilíbrio estático.

Para a implementação computacional foram ainda consideradas restrições de iteração e validação de dados, de forma a garantir que o algoritmo percorre corretamente todas as cargas aplicadas e apenas aceita valores admissíveis como variáveis de entrada. Estas condições asseguram que o programa não só respeita as exigências físicas do problema, como também mantém a robustez da introdução de dados e a generalidade do método de cálculo.

Por fim, avaliou-se a influência da posição das cargas concentradas ao longo do eixo  $x$ , uma vez que diferentes pontos de aplicação resultam em distribuições distintas do esforço transverso e do momento fletor, modificando assim a resposta global da viga.

# Capítulo 3

## Implementação do código

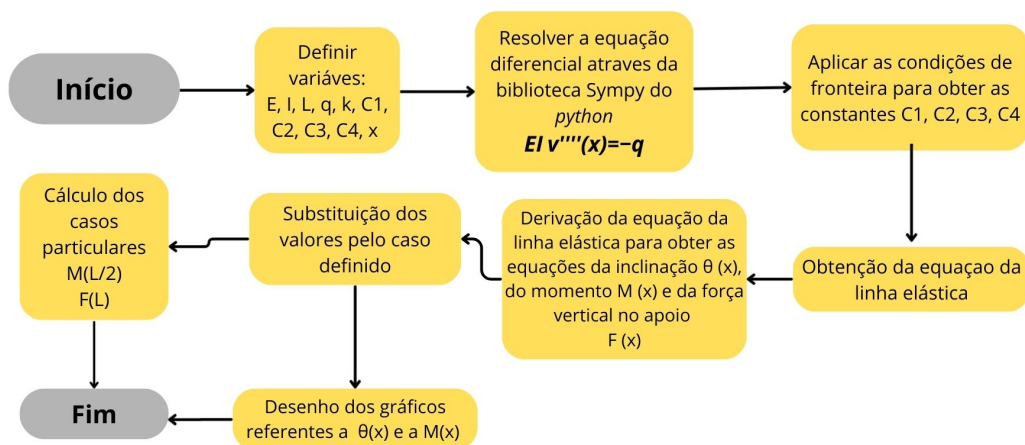


Figura 3.1: Fluxograma referente à Tarefa 1

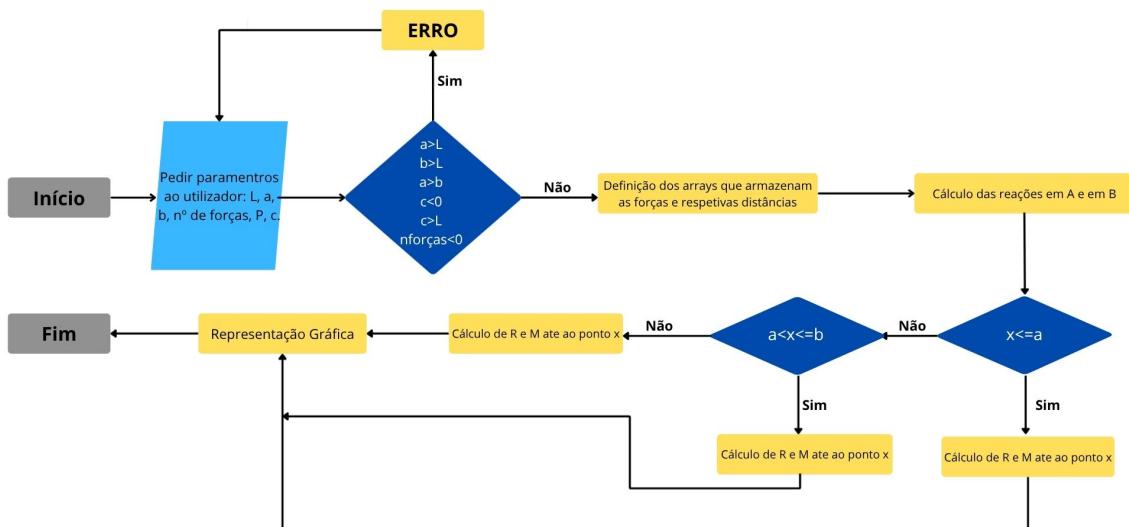


Figura 3.2: Fluxograma referente à Tarefa 2

Na Tarefa 1, começamos por recolher os dados essenciais à formulação do problema. De seguida, determinamos as constantes envolvidas, o que possibilita a construção da equação da linha elástica. A partir desta, foi possível calcular as reações e os momentos, permitindo obter tanto a expressão da deflexão em função da variável  $x$ , como a expressão da inclinação. Com estas relações estabelecidas, torna-se possível representar graficamente os resultados, conforme solicitado.

Já na Tarefa 2, o primeiro passo consistiu em solicitar ao utilizador a introdução das variáveis de entrada necessárias para a resolução. Posteriormente, implementou-se um ciclo que recorreu às instruções `for` e `while`, assegurando a aplicação correta das condições descritas no Capítulo 2. Com esta abordagem, foi possível calcular os somatórios das forças e dos momentos, considerando tanto a quantidade de cargas aplicadas como a posição onde atuam. Os valores obtidos foram organizados em vetores, os quais serviram de base à geração dos gráficos requeridos.

# Capítulo 4

## Resultados e Discussões

### 4.1 Tarefa 1

Após a implementação do código, verificou-se que, na alínea (a), foi determinada a equação da linha elástica, conforme apresentada na equação (2.10).

Seguidamente, calculou-se o momento fletor no ponto  $L/2$ , obtendo-se

$$M(L/2) = 110.00 \text{ Nm}, \quad (4.1)$$

e, posteriormente, a força de reação vertical no apoio direito foi encontrada como

$$v'''(L) = 975.00 \text{ N}, \quad (4.2)$$

conforme indicado nas equações acima.

Utilizando a linguagem de programação *Python* e os parâmetros fornecidos para o caso 6, foram elaborados os gráficos apresentados na Figura 4.1, nos quais se representam as curvas de deflexão e de inclinação ao longo do comprimento da viga.

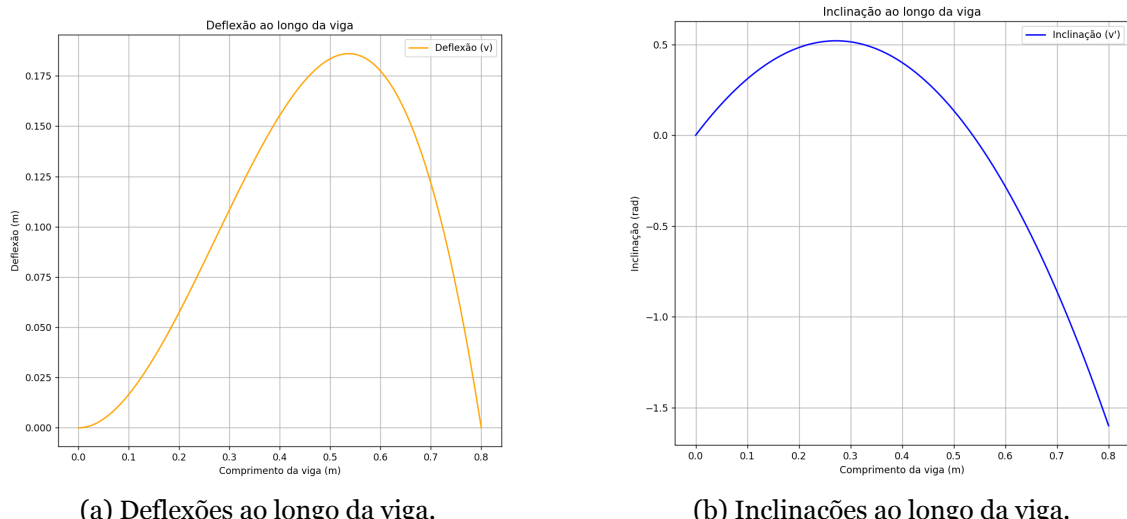


Figura 4.1: Gráficos referentes às deflexões e inclinações ao longo do comprimento da viga.

A observação do gráfico de deflexão permite concluir que, em conformidade com as condições

de fronteira previamente estabelecidas, a curva apresenta uma forma assimétrica. Nota-se que a viga atinge o valor máximo de deslocamento no ponto de mínimo da função, localizado em  $x = 0.537$  m, onde a deflexão é de aproximadamente 0.186 m. Já o gráfico correspondente às inclinações confirma a análise, pois, sendo obtido como derivada da curva de deflexão, apresenta uma raiz exatamente em  $x = 0.537$  m.

## 4.2 Tarefa 2

Posteriormente, com base nos resultados do Caso 6, foram obtidos os gráficos apresentados nas Figuras 4.2 e 4.3, correspondentes, respetivamente, às forças de reação e ao momento fletor em função de  $x$ , conforme requerido.

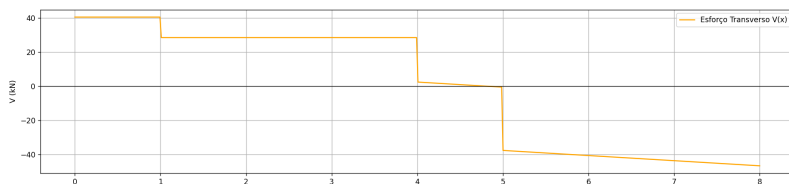


Figura 4.2: Diagrama das forças de reação em função da posição  $x$ .

O diagrama apresentado na Figura 4.2 mostra que, no troço inicial  $[0, 1]$  m, o esforço transverso mantém-se aproximadamente constante em 62.375 kN, devido à reacção de apoio  $R_A$  e à ausência de carregamentos localizados nessa zona. Em  $x = 1$  m verifica-se um salto descendente provocado pela carga pontual  $P_1$ , reduzindo o esforço para cerca de 50.375 kN.

Entre 1 e 4 m, o esforço transverso permanece constante. Em  $x = 4$  m ocorre um novo salto descendente devido à aplicação da carga  $P_2$ , resultando em +24.17 kN. No intervalo  $[4, 5]$  m o valor mantém-se inalterado até à aplicação de  $P_3$  em  $x = 5$  m, onde se observa uma queda abrupta para cerca de -37.675 kN.

A partir desse ponto, no intervalo  $[5, 8]$  m, o diagrama apresenta um decréscimo linear provocado pela acção da carga distribuída uniforme  $q$ , atingindo aproximadamente -112.63 kN junto ao apoio  $B$ . Em  $x = 8$  m, a reacção  $R_B$  equilibra o sistema, anulando o esforço transverso.

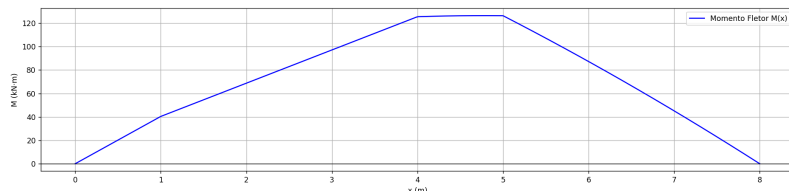


Figura 4.3: Diagrama do momento fletor ao longo da viga.

Relativamente à Figura 4.3, verifica-se que o momento fletor anula-se nas extremidades da viga, em  $x = 0$  e  $x = 8\text{ m}$ , tal como seria de esperar para apoios simples. O momento cresce de forma praticamente linear até cerca de  $213.4\text{ kN}\cdot\text{m}$  em  $x = 4\text{ m}$ , atingindo o valor máximo em  $x \approx 5,0\text{ m}$ , com  $M_{\max} \approx 225\text{ kN}\cdot\text{m}$ .

Após esta posição, a acção da carga distribuída provoca uma redução progressiva do momento fletor, que decresce até se anular novamente em  $x = 8\text{ m}$ . Este comportamento confirma a coerência entre os diagramas de esforço transverso e de momento fletor, uma vez que o ponto de máximo coincide com a região de inversão de sinal do esforço cortante.



# **Capítulo 5**

## **Conclusão**

No presente trabalho procedeu-se à análise de dois problemas estruturais envolvendo vigas, com base na teoria de Euler–Bernoulli e no recurso a métodos numéricos, com o objetivo de determinar reações de apoio, momentos fletores, deflexões e rotações ao longo do elemento.

Na primeira tarefa, a partir das condições de fronteira impostas e da equação diferencial governante do comportamento da viga, foi possível deduzir a expressão da linha elástica, calcular o momento fletor na secção central e a reação vertical no apoio direito. A implementação computacional em Python permitiu, adicionalmente, a representação gráfica da deflexão e da inclinação, destacando a localização do ponto correspondente à máxima flecha.

Na segunda tarefa, desenvolveu-se um programa com caráter genérico, capaz de calcular os esforços transversos e os momentos fletores resultantes da aplicação de um número arbitrário de cargas concentradas em diferentes posições ao longo da viga. A formulação proposta possibilitou a determinação precisa das reações e dos momentos em função da coordenada  $x$ , complementada por representações gráficas que descrevem a evolução dos esforços ao longo da viga, evidenciando as descontinuidades geradas nos pontos de aplicação das cargas.

Em síntese, o relatório apresentou uma análise detalhada do comportamento estrutural de vigas sujeitas a distintos esquemas de carregamento, confirmando a consistência dos resultados obtidos e reforçando a relevância da utilização integrada de modelos teóricos e ferramentas numéricas no estudo e dimensionamento de sistemas estruturais em engenharia.



## **Bibliografia**

Gamboa, Pedro. Slides das aulas. 2025/2026. Placas e Cascas. Universidade da Beira Interior, Covilhã.



# Apêndice A

## Implementação do código

### A.1 Tarefa 1

```
1 #Defenir todas as constantes que temos
2 #Resolver a equação diferencial  $EI*v''''(x) = -q$ 
3 #Integrar 4 vezes e obter c1, c2, c3 e c4
4 #Defenir as condições de fronteira
5 #Substituir e resolver o sistema para calcular os valores das constantes c1, c2
   , c3 e c4 através das condições de fronteira
6 #Obter a equação da linha elástica v(x)
7 #Obter a equação do momento fletor no centro da viga ( $x=L/2$ )
8 #Obter a equação da força vertical no ponto mais a direita ( $x=L$ )
9 #Substituir pelos valores numerios as constantes defenidas na linha 1
10 #Calcular a deflexão (ja temos linha 6)
11 #calcular a inclinação= theta(x)= v'(x)
12 #Desenhar graficamente os dados da linha 10 e 11 ao longo de  $0 < x < L$ 
13
14 #Bibliotecas necessárias para a resoluçao do exercicio
15 import sympy as sp #calculo diferencial
16 import numpy as np #transformar os dados e analisar todos os pontos para ser
   possível desenhar os gráficos
17 import matplotlib.pyplot as plt #Representar graficamente as o declive e a
   deflexão ao longo da viga
18
19 #Defenir as variáveis
20 x = sp.symbols ('x')
21 E, I, L, q, k=sp.symbols('E I L q k')
22 C1, C2, C3, C4 = sp.symbols('C1 C2 C3 C4')
23 #Defenir a equaçao diferencial
24 v= sp.Function('v')(x)
25 EqDif= sp.Eq(E*I*sp.diff(v,(x,4)), -q)
26
27 #Resolver a EqDif
28 v_solv= sp.dsolve(EqDif)
29 V_geral= v_solv.rhs #Obter a expressão da linha elástica
30 print ("\n Equação da linha elástica (com constantes)")
31 sp.pprint(V_geral)
32
```

```

33 #Vamos definir as condições de fronteira (4 equações de fronteira, 2 para cada
   extermidade)
34 #Devido ao encastramento
35 # $v(x)=0$  --- vai anular c4- condição 1
36 # $v'(x)=0$ ---- vai anular c3- condição 2
37 #Devido ao apoio da mola
38 # $v(L)=0$ --- vamos obter uma equação dependente de c1 e c2-condição 3
39 #Equação do momento
40 #Para a eq4 ->  $M_L+M_mola=0 \Leftrightarrow M_L = -k*v'(L) \Leftrightarrow EI*v''(L) = K*v'(L) \Leftrightarrow EI*v''(L) - K*v'(L) = 0$ - condição 4
41 cond1 = sp.Eq(V_geral.subs(x,0), 0)
42 cond2 = sp.Eq(sp.diff(V_geral,x).subs(x,0), 0)
43 cond3 = sp.Eq(V_geral.subs(x,L), 0)
44 cond4 = sp.Eq(E*I*sp.diff(V_geral,(x,2)).subs(x,L) - k*sp.diff(V_geral,x).subs(
   x,L), 0)
45
46 #Resolver sistema para c1,c2,c3 e c4
47 sol_const = sp.solve([cond1, cond2, cond3, cond4], (C1, C2, C3, C4))
48 print("\nConstantes de integração encontradas:")
49 print(sol_const)
50
51 #Substituir na equação final da linha elástica
52 v_final = V_geral.subs(sol_const)
53
54 print("\nEquação da linha elástica v(x):")
55 sp.pprint(sp.simplify(v_final))
56
57 #Inclinação , momento e força vertical
58 theta= sp.diff(v_final,x)
59 M= E*I*sp.diff(v_final,(x,2))
60 F= -E*I*sp.diff(v_final,(x,3)) #equivalente à 3ª derivada da deflexao
61
62 print("\n Inclinação :")
63 sp.pprint(sp.simplify(theta))
64 print("\n Momento:")
65 sp.pprint(sp.simplify(M))
66 print("\n Força vertical:")
67 sp.pprint(sp.simplify(F))
68
69 #Introduzir os valores do caso 6
70 b_val= 0.01
71 h_val= 0.01
72 L_val= 0.8
73 E_val= 70e9
74 q_val= 250
75 k_val= 300
76 I_val= (b_val * h_val**3)/12

```

```

77 #Substituir os valores nas equações que tivemos a definir até agora
78 subs_dict = {E: E_val, I: I_val, L: L_val, q: q_val, k: k_val}
79 v_val, theta_val, M_val, F_val =
80     sp.simplify(expr.subs(subs_dict))
81     for expr in (v_final, theta, M, F)
82 ]
83
84
85 print("\n A linha elastica para o caso ..... , v(x)")
86 sp pprint(v_val)
87 print("\n A inclinacao para o caso ..... , theta(x)")
88 sp pprint(theta_val)
89 print("\n A linha elastica para o caso ..... , M(x)")
90 sp pprint(M_val)
91 print("\n A linha elastica para o caso ..... , F(x)")
92 sp pprint(F_val)
93
94 #Transformar os valores de função simbólica para uma função numpy
95 def evaluate_expr(expr, x_vals):
96
97     f = sp.lambdify(x, expr, "numpy")
98     try:
99         y = f(x_vals)
100        y_arr = np.asarray(y)
101        if y_arr.dtype == object:
102            y_arr = np.array([float(sp.N(val)) for val in y_arr], dtype=float)
103        else:
104            y_arr = y_arr.astype(float)
105        return y_arr
106    except Exception:
107        return np.array([float(sp.N(expr.subs(x, float(t)))) for t in x_vals],
108                      dtype=float)
109
110 #De acordo com o caso que temos ,vamos calcular o momento a meio da viga e a
111 #força de apoio em L
112 M_meio = float(sp.N(M_val.subs(x, L_val/2)))
113 F_dir = float(sp.N(F_val.subs(x, L_val)))
114
115 #Apresentar os resultados da alínea a)
116 print(f"Momento a meio da viga M(L/2) [N·m]: {M_meio:.2f}")
117 print(f"Força no apoio direito F(L) [N]: {F_dir:.4f}")
118
119 #Representação da alínea b)
120 subs_dict = {E: E_val, I: I_val, L: L_val, q: q_val, k: k_val}
121 v_num = sp.simplify(v_final.subs(subs_dict))

```

```

122 theta_num = sp.simplify(theta.subs(subs_dict))
123
124 # Criar funções numéricas com lambdify
125 v_fun = sp.lambdify(x, v_num, "numpy")
126 theta_fun = sp.lambdify(x, theta_num, "numpy")
127
128 #Incremento dos valores (maior numero=maior precisão)
129 x_valores = np.linspace(0, float(L_val), 100000)
130
131 #Substituir pelos valores de x da função
132 v_valores = evaluate_expr(v_num, x_valores)
133 theta_valores = evaluate_expr(theta_num, x_valores)
134
135 plt.figure(figsize=(12,5))
136 plt.subplot(1, 2, 1)
137 plt.plot(x_valores, v_valores, label="Deflexão (v)", color="orange")
138 plt.title("Deflexão ao longo da viga")
139 plt.xlabel("Comprimento da viga (m)")
140 plt.ylabel("Deflexão (m)")
141 plt.grid(True)
142 plt.legend()
143
144 plt.subplot(1, 2, 2)
145 plt.plot(x_valores, theta_valores, label="Inclinação (v')", color="blue")
146 plt.title("Inclinação ao longo da viga")
147 plt.xlabel("Comprimento da viga (m)")
148 plt.ylabel("Inclinação (rad)")
149 plt.grid(True)
150 plt.legend()
151 plt.tight_layout()
152 plt.show()

```

Listagem A.1: Código em Python para o caso 6

## A.2 Tarefa 2

```

1 import numpy as np
2 import matplotlib.pyplot as plt
3
4 def resolver_viga():
5     print("== Análise de Viga com Cargas Distribuídas e Pontuais ==")
6     L = input_positivo("Insira o comprimento da viga [m]: ")
7     a = input_a(L)
8     b = input_b(a, L)
9     q = input_positivo("Insira o valor da carga distribuída q [kN/m]: ")

```

```

10 nforcas = input_numero_forcas()
11
12 # Cargas pontuais
13 cargas_pontuais = []
14 for i in range(1, nforcas + 1):
15     P = input_positivo(f"Insira a intensidade da carga P_{i} [kN]: ")
16     c = input_distancia_forca(L, i)
17     cargas_pontuais.append((P, c))
18
19 # Carga distribuída equivalente
20 Q = q * (b - a)
21 xQ = a + (b - a) / 2
22
23 # Reações nos apoios
24 Reacao_A = (sum(P * (L - c) for P, c in cargas_pontuais) + Q * (L - xQ)) /
25 L
26 Reacao_B = (sum(P for P, _ in cargas_pontuais) + Q) - Reacao_A
27
28 print(f"\nReações de apoio: RA = {Reacao_A:.2f} kN, RB = {Reacao_B:.2f} kN")
29
30 # Funções de esforço transverso e momento fletor
31 def esforco_transverso(x):
32     V = Reacao_A
33     for P, c in cargas_pontuais:
34         if x >= c:
35             V -= P
36         if a <= x <= b:
37             V -= q * (x - a)
38         elif x > b:
39             V -= q * (b - a)
40     return V
41
42 def momento_fletor(x):
43     M = Reacao_A * x
44     for P, c in cargas_pontuais:
45         if x >= c:
46             M -= P * (x - c)
47         if a <= x <= b:
48             w = q * (x - a)
49             centroide = (x - a) / 2
50             M -= w * centroide
51         elif x > b:
52             w = q * (b - a)
53             centroide = (b - a) / 2
54             M -= w * (x - (a + centroide))
55     return M

```

```

55
56     x_vals = np.linspace(0, L, 500)
57     V_vals = [esforco_transverso(x) for x in x_vals]
58     M_vals = [momento_fletor(x) for x in x_vals]
59
60     # Desenahr diagramas
61     plt.figure(figsize=(12, 6))
62     plt.subplot(2, 1, 1)
63     plt.plot(x_vals, V_vals, 'b', label='Esforço Transverso V(x)', color="orange")
64     plt.axhline(0, color='k', linewidth=0.8)
65     plt.ylabel('V (kN)')
66     plt.grid(True)
67     plt.legend()
68     plt.subplot(2, 1, 2)
69     plt.plot(x_vals, M_vals, 'r', label='Momento Fletor M(x)', color="blue")
70     plt.axhline(0, color='k', linewidth=0.8)
71     plt.xlabel('x (m)')
72     plt.ylabel('M (kN·m)')
73     plt.grid(True)
74     plt.legend()
75     plt.tight_layout()
76     plt.show()
77
78 #Introduzir valores positivos
79 def input_positivo(mensagem):
80     valor = float(input(mensagem))
81     while valor <= 0:
82         print("Valor inválido! Insira um valor positivo.")
83         valor = float(input(mensagem))
84     return valor
85
86 #Introduzir um valor valido entre o e L
87 def input_a(L):
88     a = float(input("Insira o valor de a em metros (>= o e <= L): "))
89     while a < o or a > L:
90         print("Valor inválido! a deve ser >= o e <= L.")
91         a = float(input("Insira o valor de a em metros (>= o e <= L): "))
92     return a
93
94 #Introduzir o valor de b de maneira que seja maior que o valor anteriormente
95 #definido (a) e menor que L
96 def input_b(a, L):
97     b = float(input(f"Insira o valor de b em metros (>= {a} e <= L): "))
98     while b < a or b > L:
99         print(f"Valor inválido! b deve ser >= {a} e <= {L}.")
          b = float(input(f"Insira o valor de b em metros (>= {a} e <= L): "))

```

```

100    return b
101
102 #Introduzir um numero inteiro positivo de forças
103 def input_numero_forcas():
104     nforcas = input("Insira o número de forças: ")
105     while not nforcas.isdigit() or int(nforcas) <= 0:
106         print("Valor inválido! Deve ser um número inteiro positivo.")
107         nforcas = input("Insira o número de forças: ")
108     return int(nforcas)
109
110 #Introduzir o valor da distancia de cada força, com as devidas restrições
111 def input_distancia_forca(L, contador):
112     distancia = float(input(f"Qual a distância da carga P_{contador} ao ponto A
113     (<= {L}): "))
114     while distancia > L or distancia < 0:
115         print(f"Distância inválida! Deve ser entre 0 e {L}.")
116         distancia = float(input(f"Qual a distância da carga P_{contador} ao
117         ponto A (<= {L}): "))
118     return distancia
119
118 if __name__ == "__main__":
119     resolver_viga()

```

Listagem A.2: Código em Python para o caso 6

